

Математическая модель деформирования ортотропных конических оболочек

Введение

Наиболее широкое применение конические оболочки находят в авиационной технике и машиностроении. Одной из первых работ по исследованию устойчивости конических оболочек была работа Х.М. Муштари [1]. Также здесь необходимо отметить вклад Н. А. Алумязэ, Э. И. Григолюка, А. В. Саченкова [2] и др. В работе Н. В. Валишвили [3] исследуется устойчивость конических оболочек на основе осесимметричной теории. В работе [4] задача устойчивости конических оболочек была сведена к отысканию собственных значений системы дифференциальных уравнений в частных производных с переменными коэффициентами, и было показано, что решение необходимо искать приближенно.

Одним из применяемых ранее подходов к решению данной проблемы было сведение конической оболочки к цилиндрической. Радиус цилиндрической оболочки принимался как среднее между большим и малым радиусами конической оболочки. Данная методика хорошо себя показала при расчете оболочек с малым углом конусности [5], но при его увеличении специфичность строения конической оболочки начинает сильнее сказываться на ее устойчивости, и такой подход становится неприемлемым.

По сравнению с расчетом цилиндрических оболочек, исследовать такие конструкции труднее. Это проявляется, прежде всего, в усложнении геометрических соотношений, связывающих перемещения и деформации. К недавним работам в области исследования конических панелей и оболочек следует отнести статью F. Shadmehri, S.V. Ноа и M. Hojjati [6], в которой рассматриваются замкнутые конические оболочки из композиционных

материалов, но математическая модель строится на теории первого порядка, а также не учитывается геометрическая нелинейность.

В работах [7, 8] были получены уравнения движения для подкрепленных ребрами жесткости конических оболочек при линейно-упругом деформировании с учетом поперечных сдвигов.

В исследовании [9] показана математическая модель деформирования оболочки, но не учитываются поперечные сдвиги и ортотропия материала.

В работе [10] приводится математическая модель деформирования оболочки на основе функционала полной энергии деформации, которая учитывает геометрическую и физическую нелинейности, поперечные сдвиги, возможность развития деформации ползучести, введение ребер жесткости с помощью метода конструктивной анизотропии с учетом сдвиговой и крутильной жесткости, но без учета ортотропии материала.

Математическая модель деформирования подкрепленных ортотропных оболочек общего вида на основе функционала полной энергии деформации была представлена в работе [11].

Цель исследования

Целью данной работы является построение математической модели деформирования конических оболочечных конструкций на основе функционала полной энергии деформации с учетом ортотропии материала, геометрической нелинейности и поперечных сдвигов.

Материал и методы исследования

Схематичное изображение панели конической оболочки показано на Рисунке 1.

Математическая модель деформирования оболочки строится на основе функционала полной энергии деформации (или уравнений равновесия), а также включает в себя геометрические соотношения, физические соотношения и граничные условия.

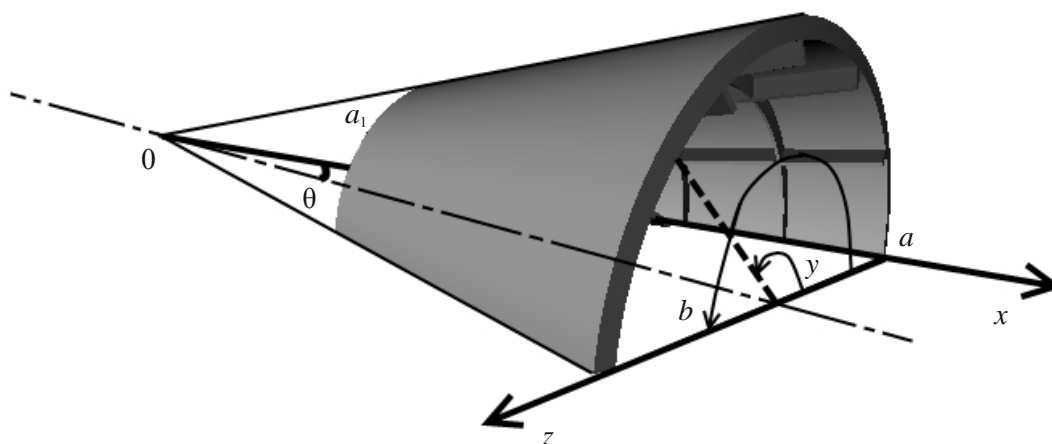


Рис. 1. – Схематичное изображение и принятая локальная система координат панели конической оболочки

Модель Кирхгофа-Лява, когда неизвестными являются только три функции перемещений $U = U(x, y), V = V(x, y), W = W(x, y)$ и в уравнениях равновесия функции U и V имеют вторые производные, а функция W – четвертые, дает существенную погрешность. Необходимо учитывать еще и поперечные сдвиги, т.е. рассматривать модель Тимошенко-Рейснера. Тогда неизвестными будут пять функций – три функции перемещений точек координатной поверхности U, V, W и две функции, характеризующие углы поворота нормали в плоскостях XOZ, YOZ : $\Psi_x = \Psi_x(x, y), \Psi_y = \Psi_y(x, y)$. При этом получаемая модель будет геометрически нелинейной, т.е. зависимость деформаций от перемещений – нелинейная, что позволяет исследовать не только напряженно-деформированное состояние оболочки, но и ее устойчивость. В дальнейшем будем рассматривать только модель Тимошенко-Рейснера.

В рассматриваемой модели геометрические соотношения для срединной поверхности оболочки принимают вид [11]

$$\begin{aligned} \varepsilon_x &= \frac{1}{A} \frac{\partial U}{\partial x} + \frac{1}{AB} V \frac{\partial A}{\partial y} - k_x W + \frac{1}{2} \theta_1^2, \\ \varepsilon_y &= \frac{1}{B} \frac{\partial V}{\partial y} + \frac{1}{AB} U \frac{\partial B}{\partial x} - k_y W + \frac{1}{2} \theta_2^2, \end{aligned} \quad (1)$$

$$\gamma_{xy} = \frac{1}{A} \frac{\partial V}{\partial x} + \frac{1}{B} \frac{\partial U}{\partial y} - \frac{1}{AB} U \frac{\partial A}{\partial y} - \frac{1}{AB} V \frac{\partial B}{\partial x} + \theta_1 \theta_2,$$

$$\theta_1 = -\left(\frac{1}{A} \frac{\partial W}{\partial x} + k_x U \right), \quad \theta_2 = -\left(\frac{1}{B} \frac{\partial W}{\partial y} + k_y V \right),$$

где $\varepsilon_x, \varepsilon_y$ – деформации удлинения вдоль координат x, y срединной поверхности; γ_{xy} – деформации сдвига в плоскости XOY ; A, B, k_x, k_y – параметры Ляме, характеризующие геометрию оболочки и главные кривизны оболочки вдоль осей x и y . Для конической оболочки они принимают вид $A=1, B=x \cdot \sin \theta$ и $k_x=0, k_y = \frac{ctg \theta}{x}$. Из-за наличия в формулах зависимости от координаты x , сложность системы соотношений (1) существенно возрастает.

Функции изменения кривизн χ_1, χ_2 и кручения χ_{12} принимают вид:

$$\chi_1 = \frac{1}{A} \frac{\partial \Psi_x}{\partial x} + \frac{1}{AB} \frac{\partial A}{\partial y} \Psi_y; \quad \chi_2 = \frac{1}{B} \frac{\partial \Psi_y}{\partial y} + \frac{1}{AB} \frac{\partial B}{\partial x} \Psi_x,$$

$$2\chi_{12} = \frac{1}{A} \frac{\partial \Psi_y}{\partial x} + \frac{1}{B} \frac{\partial \Psi_x}{\partial y} - \frac{1}{AB} \left(\frac{\partial A}{\partial y} \Psi_x + \frac{\partial B}{\partial x} \Psi_y \right).$$

Для связи деформаций и напряжений используются физические соотношения, которые строятся на основе обобщенного закона Гука. Выразив напряжения через деформации, получим физические соотношения для тонкостенной ортотропной оболочки при линейно-упругом деформировании:

$$\begin{aligned} \sigma_x &= \frac{E_1}{1 - \mu_{12}\mu_{21}} \left[\varepsilon_x + \mu_{21}\varepsilon_y + z(\chi_1 + \mu_{21}\chi_2) \right]; \\ \sigma_y &= \frac{E_2}{1 - \mu_{12}\mu_{21}} \left[\varepsilon_y + \mu_{12}\varepsilon_x + z(\chi_2 + \mu_{12}\chi_1) \right]; \\ \tau_{xy} &= G_{12} \left[\gamma_{xy} + 2z\chi_{12} \right]; \end{aligned} \quad (2)$$

$$\begin{aligned}\tau_{xz} &= G_{13}kf(z)(\Psi_x - \theta_1); \\ \tau_{yz} &= G_{23}kf(z)(\Psi_y - \theta_2),\end{aligned}$$

здесь E_1, E_2 – модули упругости в направлениях x, y ; G_{12}, G_{13}, G_{23} – модули сдвига в плоскостях XOY, XOZ, YOZ соответственно; μ_{12}, μ_{21} – коэффициенты Пуассона; $f(z)$ – функция, характеризующая распределение напряжений τ_{xz}, τ_{yz} по толщине оболочки, k – числовой коэффициент, соответствующий выбранной функции $f(z)$. Для гладких оболочек принимается

$$f(z) = 6 \left(\frac{1}{4} - \frac{z^2}{h^2} \right), \quad k = \frac{5}{6}.$$

Функция $f(z)$ при $z = -\frac{h}{2}$ и $z = \frac{h}{2}$ (верхняя и нижняя поверхности оболочки) обращается в нуль, а также удовлетворяет условиям [12]:

$$\frac{1}{h} \int_{-\frac{h}{2}}^{\frac{h}{2}} f(z) dz = 1; \quad \frac{1}{h} \int_{-\frac{h}{2}}^{\frac{h}{2}} f^2(z) dz = \frac{1}{k}.$$

На основе физических соотношений можно сформировать выражения для усилий и моментов. Интегрируя напряжения (2) по z в пределах от $-h/2$ до $h/2$, получим усилия и моменты, приведенные к срединной поверхности оболочки и приходящиеся на единицу длины сечения. Для гладких оболочек они будут иметь вид

$$\begin{aligned}N_x &= \frac{E_1}{1 - \mu_{12}\mu_{21}} \left[h \left(\varepsilon_x + \mu_{21}\varepsilon_y \right) \right], \\ N_y &= \frac{E_2}{1 - \mu_{12}\mu_{21}} \left[h \left(\varepsilon_y + \mu_{12}\varepsilon_x \right) \right], \\ N_{xy} &= N_{yx} = G_{12} \left[h \gamma_{xy} \right], \\ M_x &= \frac{E_1}{1 - \mu_{12}\mu_{21}} \left[\left(\frac{h^3}{12} \right) (\chi_1 + \mu_{21}\chi_2) \right],\end{aligned} \tag{3}$$

$$M_y = \frac{E_2}{1 - \mu_{12}\mu_{21}} \left[\left(\frac{h^3}{12} \right) (\chi_2 + \mu_{12}\chi_1) \right],$$

$$M_{xy} = M_{yx} = G_{12} \left[2 \left(\frac{h^3}{12} \right) \chi_{12} \right],$$

$$Q_x = G_{13}kh(\psi_x - \theta_1),$$

$$Q_y = G_{23}kh(\psi_y - \theta_2),$$

где N_x, N_y, N_{xy}, N_{yx} – нормальные усилия вдоль осей x, y и сдвиговые усилия в плоскости XOY соответственно; M_x, M_y, M_{xy}, M_{yx} – изгибающие моменты в направлении осей x, y и крутящие моменты; Q_x, Q_y – поперечные силы в плоскостях XOZ и YOZ .

Функционал Лагранжа полной энергии деформации оболочки является суммой работ внутренних и внешних сил, и принимает следующий вид [11]:

$$\begin{aligned} \mathfrak{D} = \frac{1}{2} \int_{a_1}^a \int_{y_1(x)}^{y_2(x)} \left\{ N_x \varepsilon_x + N_y \varepsilon_y + \frac{1}{2} (N_{xy} + N_{yx}) \gamma_{xy} + M_x \chi_1 + M_y \chi_2 + \right. \\ \left. + (M_{xy} + M_{yx}) \chi_{12} + Q_x (\Psi_x - \theta_1) + Q_y (\Psi_y - \theta_2) - 2qW \right\} AB dx dy. \end{aligned} \quad (4)$$

Подставив выражения для усилий и моментов (3) в функционал (4), получим

$$\begin{aligned} \mathfrak{D} = \frac{1}{2} \int_{a_1}^a \int_{y_1(x)}^{y_2(x)} \left\{ \frac{E_1 h}{1 - \mu_{12}\mu_{21}} (\varepsilon_x^2 + \mu_{21} \varepsilon_x \varepsilon_y) + \frac{E_2 h}{1 - \mu_{12}\mu_{21}} (\varepsilon_y^2 + \mu_{12} \varepsilon_x \varepsilon_y) + G_{12} h \gamma_{xy}^2 + \right. \\ \left. + \frac{E_1}{1 - \mu_{12}\mu_{21}} \left(\frac{h^3}{12} \right) (\chi_1^2 + \mu_{21} \chi_2 \chi_1) + \frac{E_2}{1 - \mu_{12}\mu_{21}} \left(\frac{h^3}{12} \right) (\chi_2^2 + \mu_{12} \chi_2 \chi_1) + \right. \\ \left. + G_{12} \left(\frac{h^3}{3} \right) \chi_{12}^2 + G_{13} kh (\Psi_x - \theta_1)^2 + G_{23} kh (\Psi_y - \theta_2)^2 - 2qW \right\} AB dx dy \end{aligned}$$

Приведя подобные члены, получим

$$\begin{aligned} \Theta = & \frac{1}{2} \int_{a_1}^a \int_{y_1(x)}^{y_2(x)} \left\{ \frac{E_1}{1 - \mu_{12}\mu_{21}} h \varepsilon_x^2 + \frac{E_2}{1 - \mu_{12}\mu_{21}} h \varepsilon_y^2 + \right. \\ & + \left[\frac{E_1}{1 - \mu_{12}\mu_{21}} \mu_{21} h + \frac{E_2}{1 - \mu_{12}\mu_{21}} \mu_{21} h \right] \varepsilon_x \varepsilon_y + \frac{1}{2} G_{12} 2h \gamma_{xy}^2 + G_{13} kh (\psi_x - \theta_1)^2 + \\ & + G_{23} kh (\psi_y - \theta_2)^2 + \frac{E_1}{1 - \mu_{12}\mu_{21}} \left(\frac{h^3}{12} \right) \chi_1^2 + \frac{E_2}{1 - \mu_{12}\mu_{21}} \left(\frac{h^3}{12} \right) \chi_2^2 + \\ & \left. + \left(\frac{E_1}{1 - \mu_{12}\mu_{21}} \mu_{21} + \frac{E_2}{1 - \mu_{12}\mu_{21}} \mu_{12} \right) \left(\frac{h^3}{12} \right) \chi_1 \chi_2 + 2G_{12} \left(\frac{h^3}{6} \right) \chi_{12}^2 - 2qW \right\} AB dx dy \end{aligned}$$

Учитывая, что $E_1 \mu_{21} = E_2 \mu_{12}$, введем обозначения:

$$\overline{G_2} = \frac{E_2}{E_1}, \overline{G_{12}} = \frac{G_{12}(1 - \mu_{12}\mu_{21})}{E_1}, \overline{G_{13}} = \frac{G_{13}(1 - \mu_{12}\mu_{21})}{E_1}, \overline{G_{23}} = \frac{G_{23}(1 - \mu_{12}\mu_{21})}{E_1},$$

и приведем функционал к виду

$$\begin{aligned} \Theta = & \frac{E_1}{2(1 - \mu_{12}\mu_{21})} \int_{a_1}^a \int_{y_1(x)}^{y_2(x)} \left\{ h \varepsilon_x^2 + \overline{G_2} h \varepsilon_y^2 + 2h \mu_{21} \varepsilon_x \varepsilon_y + \overline{G_{12}} h \gamma_{xy}^2 + \right. \\ & + \overline{G_{13}} kh (\psi_x - \theta_1)^2 + \overline{G_{23}} kh (\psi_y - \theta_2)^2 + \frac{h^3}{12} \chi_1^2 + \frac{h^3}{12} \overline{G_2} \chi_2^2 + \\ & \left. + \frac{h^3}{6} \mu_{21} \chi_1 \chi_2 + \frac{h^3}{3} \overline{G_{12}} \chi_{12}^2 - 2 \frac{q(1 - \mu_{12}\mu_{21})}{E_1} W \right\} AB dx dy. \end{aligned} \quad (5)$$

Способ закрепления контура конструкции учитывается через граничные условия (Таблица 1), которые влияют в дальнейшем на выбор аппроксимирующих функций [13], а область, занимаемая оболочкой, задается в пределах интегрирования [14]: $a_1 \leq x \leq a, y_1(x) \leq y \leq y_2(x)$. Использование функций $y_1(x), y_2(x)$ позволяет учитывать нестандартную форму контура оболочки.

Таблица № 1

Краевые условия при различном закреплении контура конструкции

Закрепление	При $x = a_1, x = a$	При $y = y_1(x), y = y_2(x)$
Шарнирно-неподвижное закрепление	$U = V = W = M_x = \Psi_y = 0$	$U = V = W = \Psi_x = M_y = 0$

Жесткое закрепление	$U = V = W = \Psi_x = \Psi_y = 0$	$U = V = W = \Psi_x = \Psi_y = 0$
Жесткое при $x = a_1, x = a$ и шарнирно-неподвижное при $y = y_1(x), y = y_2(x)$	$U = V = W = \Psi_x = \Psi_y = 0$	$U = V = W = \Psi_x = M_y = 0$
Жесткое при $x = a_1, x = a$ и свободный край при $y = y_1(x), y = y_2(x)$	$U = V = W = \Psi_x = \Psi_y = 0$	$N_{xy} = N_y = Q_y = M_{xy} = M_y = 0$

Заключение

Таким образом, полученные соотношения (1), (2), (5) вместе с краевыми условиями представляют собой математическую модель деформирования конической оболочечной конструкции с комплексным учетом таких факторов, как ортотропия материала, геометрическая нелинейность и поперечные сдвиги.

Для дальнейшего исследования прочности и устойчивости рассматриваемых конструкций к представленной модели могут применяться методы, подходы и алгоритмы, представленные в работах [14 – 17].

Литература:

1. Муштари, Х. М. Об устойчивости тонкостенных конических оболочек круглого сечения при кручении парами [Текст] / Х. М. Муштари. – В кн. Сборник научных трудов КАИ. – Казань: Издательство Казанского авиационного института, 1935. – С. 39–40.
2. Муштари, Х. М. Об устойчивости цилиндрических и конических оболочек круглого сечения при совместном действии осевого сжатия и внешнего нормального давления [Текст] / Х. М. Муштари, А. В. Саченков // Прикладная математика и механика, 1954. т. XVIII, № 6. – С. 667–674.
3. Валишвили, Н. В. Методы расчета оболочек вращения на ЭЦВМ [Текст] / Н. В. Валишвили. – М.: Машиностроение, 1976. – 278 с.

4. Вольмир, А. С. Устойчивость деформируемых систем [Текст] / А. С. Вольмир. – М.: Наука, 1967. – 984 с.
5. Преображенский, И. Н. Устойчивость и колебания конических оболочек [Текст] / И. Н. Преображенский, В. З. Грищак. – М.: Машиностроение, 1986. – 240 с.
6. Shadmehri F., Hoa S.V., Hojjati M. Buckling of conical composite shells // Composite Structures. – Vol. 94. – 2012. Pp.787–792. DOI:10.1016/j.compstruct.2011.09.016
7. Овчаров, А. А. Математическая модель конической оболочки ступенчато-переменной толщины при динамическом нагружении [Текст] / А. А. Овчаров // Математическое моделирование, численные методы и комплексы программ: Межвуз. темат. сб. тр. СПбГАСУ. – СПб., 2004. – С. 127–132.
8. Овчаров, А. А. Компьютерные технологии исследования устойчивости панелей ребристых конических оболочек [Текст] / А. А. Овчаров // Вестник гражданских инженеров. – № 2(11). – 2007. – С. 104–111.
9. Бурцева, С. В. К расчету оболочек вариационно-энергетическим методом [Электронный ресурс] / С. В. Бурцева, Г. П. Стрельников, В. И. Авилкин // Инженерный вестник Дона. – 2012. – Т. 23, № 4, Ч. 2. – С. 1–3. Режим доступа: <http://ivdon.ru/magazine/archive/n4p2y2012/1291> (доступ свободный)
10. Баранова, Д. А. Математическая модель деформирования подкрепленных оболочек вращения при учете различных свойств материала [Электронный ресурс] // Инженерный вестник Дона. – 2012. – Т.20, № 2. – С. 45–50. Режим доступа: <http://ivdon.ru/magazine/archive/n2y2012/745> (доступ свободный)
11. Карпов, В. В. Математическая модель деформирования подкрепленных ортотропных оболочек вращения [Текст] / В. В. Карпов, А. А. Семенов // Инженерно-строительный журнал. – № 5. – 2013. С. 100–106.

12. Вольмир, А. С. Нелинейная динамика пластинок и оболочек [Текст] / А. С. Вольмир. – М.: Наука, 1972. – 432 с.
13. Карпов, В. В. Математическое моделирование, алгоритмы исследования модели, вычислительный эксперимент в теории оболочек [Текст] / В. В. Карпов. – СПб.: СПбГАСУ, 2006. – 330 с.
14. Семенов, А. А. Алгоритмы исследования прочности и устойчивости подкрепленных ортотропных оболочек [Текст] / А. А. Семенов // Строительная механика инженерных конструкций и сооружений. – № 1. – 2014. – С. 49–63.
15. Карпов, В. В. Прочность и устойчивость подкрепленных оболочек вращения: в 2 ч. Ч.2: Вычислительный эксперимент при статическом механическом воздействии [Текст] / В. В. Карпов. – М: Физматлит, 2011. – 248 с.
16. Атисков, А. Ю. Компьютерные технологии расчета оболочек [Текст] / А. Ю. Атисков, Д. А. Баранова, В. В. Карпов, Л. П. Москаленко, А. А. Семенов. – СПб.: СПбГАСУ, 2012. – 184 с.
17. Qu Y., Wu S., Chen Y., Hua H. Vibration analysis of ring-stiffened conical–cylindrical–spherical shells based on a modified variational approach // International Journal of Mechanical Sciences. – Vol.69. – 2013. Pp. 72–84. <http://dx.doi.org/10.1016/j.ijmecsci.2013.01.026>